

فصلنامه زمین ساخت

تابستان ۱۴۰۲، سال هفتم، شماره ۲۶

doi [10.22077/jt.2024.8207.1184](https://doi.org/10.22077/jt.2024.8207.1184)

بررسی و مقایسه تغییرات تنفس دیرین با استفاده از دو روش الگوهای ساختاری و وارونگی داده‌های لغزشی در بخش جنوبی کمربند تکتونیکی شرق ایران

حسن اصغری^۱، محمد مهدی خطیب^{*}^۲، ابراهیم غلامی^۳، سasan باقری^۴

۱-دانشجوی دکتری تکتونیک، دانشکده علوم، گروه زمین شناسی، دانشگاه بیرجند، ایران

۲-استاد تکتونیک، گروه زمین شناسی، دانشکده علوم، گروه زمین شناسی، دانشگاه بیرجند، ایران

۳-دانشیار تکتونیک، گروه زمین شناسی، دانشکده علوم، گروه زمین شناسی، دانشگاه بیرجند، ایران

۴-دانشیار تکتونیک، گروه زمین شناسی، دانشکده علوم، گروه زمین شناسی، دانشگاه سیستان و بلوچستان، زاهدان، ایران

تاریخ دریافت: ۱۴۰۳/۰۷/۱۰
تاریخ پذیرش: ۱۴۰۳/۱۰/۰۸

چکیده:

منطقه مورد مطالعه در جنوب خاور ایران و در شمال خاوری ایرانشهر و جنوب خاش و از نگرش زمین شناسی در بخش جنوبی کوهزاد شرق ایران قرار دارد. از شاخص‌های این منطقه وجود ساختارهای زمین شناسی (ساخت کششی، فشاری، برشی) متنوع می‌باشد که این تنوع ساختاری نشان دهنده تاریخچه تکتونیکی پیچیده‌ای می‌باشد. برای شناخت بهتر روندهای دگرگشکلی می‌توان از محاسبه و بازسازی تنفس‌ها استفاده نمود، که در این پژوهش وارونگی داده‌های لغزشی و بررسی الگوهای ساختاری استفاده شده است. بدین مظور برای محاسبه محورهای تنفس در زمان‌های مختلف برداشت‌های صحرایی شامل صفحات گسلی، سطوح لغزشی، سطح محوری چین خوردگی‌ها در منطقه انجام شد. که نتایج بدست آمده تقریباً با هم یکسان می‌باشند. بررسی داده‌های جنبشی گسل‌ها و محاسبه تنسورهای تنفس در زمان‌های مختلف، سه مرحله تغییر در موقعیت اصلی فشردنگی (۵) در زمان‌های کرتاسه ($N10^{\circ}$) پالتوژن ($N60^{\circ}$) نشوژن ($N60^{\circ}$) را نشان می‌دهند. و همچنین بررسی جهت کوتاه‌شدنگی چین خوردگی‌ها سه مرحله کوتاه‌شدنگی باروندهای ۱- شمال ۲- شرق و ۳- شمال شرقی را نشان میدهند از این رو میتوان گفت چین خوردگی نسل اول قدیمی رخداد دگرگشکلی می‌باشد که دارای محور شرقی غربی هستند و چین‌های نسل دوم و سوم نیز در رخداد دوم دگرگشکلی همزمان باسته شدن حوضه سیستان در پالتوژن می‌باشند و گسل‌های مزدوج که باعث جابجایی دیگر ساختارهای زمین شناسی شده‌اند نیز در زمان نشوژن ایجاد شده‌اند.

واژه‌های کلیدی: دگرگشکلی، گسل امتدادلغز راستگرد، چین خوردگی، تنفس دیرین، زون ساختاری شرق ایران



Analysis and Comparison of Paleostress Variations Using Structural Pattern and Slip Data Inversion Methods in the Southern Part of the East Iranian Tectonic Belt

Hassan Asghari¹, Mohammad Mehdi Khatib^{*2}, Ebrahim Gholami³, Sasan Bagheri⁴

1- PhD Student in Tectonics, Faculty of Sciences, Department of Geology University of Birjand, Birjand, Iran

2- Professor of Tectonics, Department of Geology, Faculty of Sciences, University of Birjand, Birjand, Iran

3- Associate Professor of Tectonics, Department of Geology, Faculty of Sciences, University of birjand, Birjand, Iran

4- Associate Professor of Tectonics, Department of Geology, Faculty of Sciences, University of Sistan and Baluchestan, Zahedan, Iran

Abstract

The study area is situated in southeastern Iran, specifically north of Iranshahr and south of Khash, and geologically, it lies within the southern sector of the mountainous region of eastern Iran. This area exhibits diverse geological structures, including extensional, compressional, and shear formations, which reflect a complex tectonic history. To enhance our understanding of the deformation processes, this research utilizes two methodologies: the inversion of fault data and the analysis of structural patterns. Field surveys were conducted to determine stress axes at various points in time, incorporating fault planes, slip surfaces, and folding hinge surfaces. The results obtained from both methods are closely aligned. Analyzing the kinematic data of the faults and calculating stress tensors at different periods reveals three distinct stages of change in the original compressive stress state (σ_1) during the Cretaceous ($N10^\circ \pm 10^\circ$), Eocene ($N60^\circ \pm 25^\circ$), and Miocene ($N6^\circ \pm 15^\circ$). Furthermore, an examination of the shortening directions of the folds indicates three stages of shortening with trends directed towards 1- north, 2- east, and 3- northeast. Consequently, it can be concluded that the first-generation folds represent the earliest deformation events characterized by an east-west axis. In contrast, the second and third-generation folds align with a subsequent deformation event that coincides with the closure of the Sistan basin during the Paleogene. Additionally, the conjugate fractures that caused the displacement of other geological structures also formed during the Neogene.

Keywords: Deformation, Strike-Slip Fault, Folding, Paleostress, East Iranian Structural Zone

*Email:hasanasghari@birjand.ac.ir

Tel: +989151909299



زمانی متفاوت در واحد های مختلف سنگی و چنگه ای با استفاده از داده های برداشت شده از ویژگی های هندسی و کینماتیک گسل ها و مقایسه آن با الگوهای چین خوردگی و تفکیک فاز های مختلف چین خوردگی می باشد. به منظور تعیین میدان تنش در زمان حاضر نیز زمین لرزه هایی با بزرگی بالای ۵ ریشترو دارای حل کانونی در بخش جنوبی کوهزاد شرق ایران مورد بررسی قرار گرفت و نتایج آن نیز با نتایج بست آمده دیگر مورد تحلیل قرار گرفت. تحلیل تکتونیکی شامل جمع آوری داده ها، جداسازی داده ها بر اساس تعیین سن، محاسبه میدان های تنش و در نهایت شناسایی و طبقه بندی رویدادهای مختلف است. از این رو مهترین پرسش های تحقیق این است: با توجه به دگرشکلی شکنا و شکل پذیر چند فاز تکتونیکی عمل کرده است؟ رژیم تکتونیکی حاکم بر این فاز ها چگونه بوده است؟ چه ارتباطی بین ساختارهای دگرشکلی با تغییرات میدان تنش وجود دارد؟

زمین شناسی منطقه

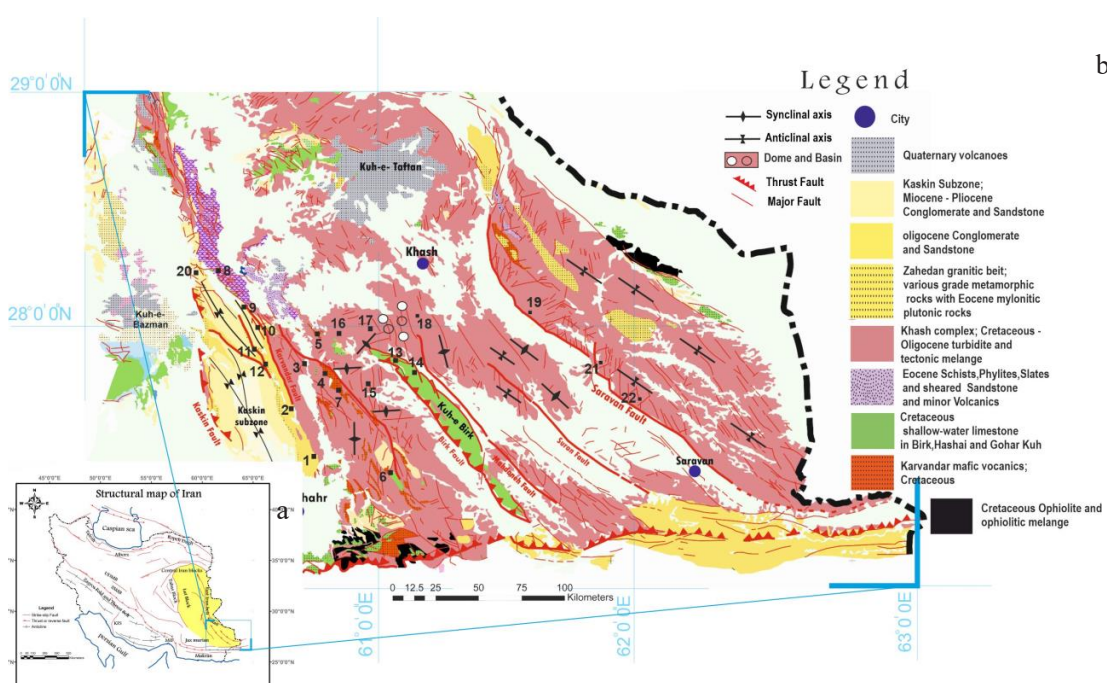
منطقه مورد مطالعه در بخش جنوبی پنهان جوش خورد سیستان و بین طول های جغرافیای ۳۰° تا ۴۰° و عرض های جغرافیایی ۱۵° تا ۲۷° می باشد (شکل ۱) تاکنون تقسیم بندی های گوناگونی برای واحد های تکتونو استراتیگرافیکی شرق ایران انجام شده است که هر یک از این پژوهشگران تحت اسامی مختلفی از آن یاد کرده اند. که از مهترین این کارها میتوان به افتخار نژاد (Eftekhari-Nejad et al., ۱۹۷۱)، Eftekhar-Nejad et (1972)، "زون" فلیش، "اشتوکلین" (Stocklin, ۱۹۷۲)، "جبال" (Nabavi, ۱۳۵۵)، "زون" (Kearey et al., ۱۹۹۶)، "نهیندان- خاش" (Nabavi, ۱۳۵۵)، "پاکری" (Camp, ۱۹۸۲)، "اوروکلین" (bagheri and Damani, ۲۰۲۱)، "اوروکلین" (Alavi, ۱۹۹۱)، "کمپ و گریفیس" (Tirrul et al., ۱۹۸۳)، "زمین درز سیستان" (Griffis, ۱۹۷۲)، "لوت- سیستان" (Tirrul, ۱۹۶۸)، "علوی" (Tirrul et al., ۱۹۸۳)، "کوههای شرق ایران" (Kearey et al., ۱۹۹۱)، "نوگل السادات" (Damani, 2020)، "نوگل السادات" (Tirrul et al., 1983) و "تیرول و همکاران" (Tirrul et al., 1983) میتوان اشاره نمود. اکثر مطالعات انجام شده بر پایه دو مدل ۱- ریفتی (Tirrul, 1968; Tirrul, 1983) و ۲- مدل چرخش خردۀ قاره (Bagheri et al., 1983) می باشد.

مقدمه

منطقه مورد مطالعه بخش جنوبی کوهزاد شرق ایران که شامل یک منطقه گوه مانند، بین بلوک لوت در غرب و بلوک افغان در شرق بوده و شامل سکانس های افیولیتی به سن کرتاسه فوکانی، رسوبات سیلیسی کلاستیک، رخساره- فلیش به سن پالئوسن- ائوسن، رسوبات دریایی عمیق و بلوک های آهکی به سن کرتاسه و ائوسن می باشد (Tirrul et al., 1983) به دلیل توع ساختاری و دگرشکلی های متفاوت تاکنون ایده های مختلفی در ارتباط با تکامل تکتونیکی کوهزاد شرق ایران مطرح گردیده است. اعمال تنش های مختلف در محدوده زمانی متفاوت، دگرشکلی های متنوعی را ایجاد می کند، بررسی های تنش دیرین در پنهانه دگرشکل شده و ارتباط آن با دگرشکلی های موجود یکی از ابزارهای مناسب جهت شناخت بهتر سازو کار حاکم بر این دگرشکلی ها می باشد. در این باره (تش دیرین) نیز مطالعاتی به وسیله پژوهشگران مختلف در بخش های شمالی این کوهزاد صورت گرفته است از جمله میتوان به موسوی (موسوی و همکاران، ۱۳۸۹)، در جنوب بیرجند با دو مرحله تغییر شکل با راستای شمال خاوری - جنوب باختری و خاوری - باختری، جنzer (Jentzer et al., 2016)، دربخش های شمالی کمربند سیستان با سه مرحله تغییر شکل در زمان های میوسن ($N90^{\circ}$)، اواخر پلیوسن ($N60^{\circ}$) و کواترنری ($N25^{\circ}$)، عزتی (Ezati et al., 2020) در کوه های شکراب (شمال بیرجند) با سه مرحله تغییر شکل در زمان های کرتاسه- پالئوسن ($N337^{\circ}$)، ائوسن ($N3^{\circ}$)، الیگوسن - کواترنری ($N26^{\circ}$)، سهیمی (سهیمی و همکاران، ۱۳۹۷)، در منطقه شیرشتر (شمال سفید آبه) با دو مرحله تغییر شکل در زمان های کرتاسه - ائوسن (شمال باختری - جنوب خاوری) و ائوسن - کواترنری (شمال خاوری - جنوب باختری) اشاره نمود. بخش جنوبی کوهزاد با توجه به اینکه نسبت رخنمون های شمال کوهزاد کمتر دچار دگریختگی و آشفتگی تکتونیکی شده می تواند گزینه‌ی مناسبی برای بررسی و تفکیک، فازهای مختلف تنش و در نهایت دست یابی به اطلاعاتی ارزشمند باشد که از آن بتوان در تفسیر تکامل تکتونیک این کوهزاد استفاده نمود. هدف از این پژوهش بررسی تغییرات جهت تنش در بازه های

شامل سیلت، ماسه، کنگلومراهای نشوژن یا نهشته‌های تیپ فلیش و دارای ساختمان‌های منظم بوده که زمین ساخت کمتری را متحمل شده است.^۳-^۴ بخش میانی از توربیدایت‌ها و تکتونیک ملانژ‌های (کرتاسه-الیگوسن) تشکیل شده است که از غرب به گسل کارواندر و از شرق به گسل سراوان محدود می‌شود که این بخش شامل چین خوردگی‌هایی با سطوح محوری متنوع بوده که یال‌های آن‌ها توسط گسل های باروند‌های شمال شرقی و جنوب غربی جابه جا و تکتونیزه شده‌اند این بخش شامل نهشته‌های آهکی کم عمق (کرتاسه) (بیرک، هشایی، گهرکوه) و نیز سنگهای آتش‌فشانی مافیک (ائوسن) در شرق گسل کارواندرمی باشد.^۳-^۴ بخش خاوری نیز شامل افیولیت ملانژ‌های کرتاسه و کمربند گرانیتی زاهدان پلوتونیک می‌لینیتی ائوسن می‌باشد که از غرب به گسل سراوان و از غرب به گسل هریروند و بلوک هلمند محدود می‌شوند و حاوی چین‌های دوکی با سطح محوری شمال غربی-جنوب شرقی بوده که در راستای سطح محوری دچار کشیدگی شده است. ساختارهای این بخش نیز مانند بخش میانی توسط گسل‌های مزدوج با راستای شمالی جنوبی و شمال شرقی جنوب غربی بریده و جابه جا شده‌اند.

زون جوش خورده سیستان در حد فاصل زون گسلی نهبندان، کهورک، نصرت آباد و کارواندر در غرب و هریروند در شرق، در گستره‌ای با طول ۸۰۰ کیلومتر و عرض ۲۰۰ کیلومتر و انباشته‌هایی ضخیم از نوع نهشته‌های فلیش وجود دارد که پس از سنگ افیولیتی وابسته به پوسته‌های اقیانوسی را دارند (Stöcklin, 1972). زون سیستان نمایانگر یک لیتوسفر اقیانوسی باریک است که از اوایل کرتاسه، دستخوش تاریخچه نسبتاً پیچیده ای شده است که با تغییرات در محیط تکتونیکی و فاز‌های تنش همراه بوده است. شکافتن، فروزانش، استقرار افیولیت، برخورد ترانشه قاره‌ای، بالا آمدن، و حداقل سه مرحله تغییر شکل از زمان سنوزوئیک تا حال حاضر مسئول پیکربندی کنونی زون سیستان بوده است. منطقه مورد مطالعه توسط سه گسل کارواندر و سراوان که دارای روند شمال باختری جنوب خاوری می‌باشد به سه بخش باختری، میانی و خاوری تقسیم می‌شود که ۱- بخش باختری از شرق به گسل کارواندر و از غرب به گسل کاسکینگ و بلوک لوت محدود می‌شود، که شامل ناویس‌هایی بزرگ با شیب زیاد و سطح محوری شمال غربی-جنوب شرقی و کاملاً فشرده و بسته می‌باشد که این بسته و فشرده بودن تا حدودی مربوط به نبودن سنگ‌های زیاد مقاوم مانند آهک‌های ریفتی در هسته آن می‌باشد. این بخش



شکل ۱- (a) موقعیت منطقه مورد مطالعه (b) نقشه زمین‌شناسی (بر گرفته از نقشه از ۱/۱۰۰۰۰۰ ازمین‌شناسی شرق ایران (سهندي ۲۰۱۱)، و مکان داده‌های جمع آوری شده بر روی نقشه



صفحات واگراییز چندین خش لغز در سطح گسل ایجاد می کند. خش لغزهای ایجاد شده در میدان تنش محلی به واسطه ناسازگاری با میدان تنش ناحیه ای در هنگام تحلیل تنش به روش برگشتی شناسایی (Navabpour et al., 2007; Navabpour et al., 2008) (Navabpour et al., 2007; Jacques, 2002) تعیین مکانیسم گسلی با موقعیت و خش لغزهای مشابه در یک فاز تشکیل می شوند از این رو گسل ها با نرم افزار (Win-Tensor 5.0.5) دسته بندی و با توجه به سن و تقدم و تأخیر دسته های حاصل گروه بندی شدنند (جدول ۱) تعیین محور های تنش و تفکیک فازهای زمین ساختی با استفاده از تحلیل خش لغزهای گسلی و روش وارونسازی در صورتی امکان پذیر است که تعداد داده ها دارای فراوانی مناسب و موقعیت های مختلف باشند (Navabpour et al., 2007).

روش وارونسازی چند مرتبه ای بهترین روش برای پی بردن به فازهای مختلف تنش دیرین است که با محاسبه موقعیت تنش های اصلی (σ_1 , σ_2 , σ_3) و نسبت مقادیر تنش های یاد شده ($\sigma_1 - \sigma_3$) / ($\sigma_1 - \sigma_2$)، شکل (Angelier, 2002) بیضوی تنش بدست می آید.

در مرحله بعد اطلاعات مربوط به خش لغزهای ۲۲ ایستگاه به به سه گروه مجزای نشوزن، پالشوزن و کرتاسه تقسیم شدنند. تحلیل تنش هر گروه در چندین مرحله انجام شده است و گسل های با زاویه عدم برآش بیش از 30° گسل های با موقعیت نامناسب در دایره مور بدون بعد در هر مرحله پالایش شده اند. در ادامه با حذف تعدادی از داده های گسلی شرایط پایدار برای تعیین متغیرهای تنسور تنش ایجاد شد؛ و متغیرهای تنسور تنش، تعیین شده است. در فازهایی که چین خوردگی سبب کج شدگی گسل ها می شوند؛ با استفاده از بازسازی هندسی و باز گرداندن لایه ها و گسل هایه حالت اولیه خود قبل از تغییر شکل و چین خوردگی و محاسبه پالو استرس میتوان تنش اولیه که باعث ایجاد این ساختارها شده اند را محاسبه نمود (Navabpour et al., 2007).

از این دست نیز به موقعیت اولیه خود باز گردانده شد، سپس گسل های بدون سن نسیی مشخص بر پایه هموارانی آنها و در میدانهای تنش به دست آمده در فازهای مختلف قرار گرفته اند و تحلیل تنش با همه سطوح گسلی قابل قبول صورت پذیرفته است.

مواد و روش ها

در این پژوهش، ابتدا پس از انجام مطالعات و بررسی کارهای انجام شده، برداشت های صحرایی، شامل ویژگی های هندسی گسل ها و چین خوردگی ها (صفحات گسلی، سطوح لغزش گسلی، یال های چین، سطوح محوری چین خوردگی ها، محور چین خوردگی ها) در ۲۲ ایستگاه برداشت شدند، سپس جهت های تنش اصلی بر اساس موقعیت هندسی صفحات و خطواره های گسلی با استفاده از روش وارونگی تانسور تنش (Jacques, 2002) تعیین گردید. برای تعیین موقعیت محور های جنبشی و تفکیک چین خوردگی ها از نرم افزار 5.9 win tensor و برای تعیین موقعیت محور های کشش (T) و فشارش (P) و همچنین تعیین مکانیسم گسل ها و رسم نمودار مثلثی (Frohlich, 1992) از نرم افزار Mech App استفاده شده است و برای تحلیل چین خوردگی ها، نرم افزار Stereonet بکار گرفته شد.

روش تحقیق

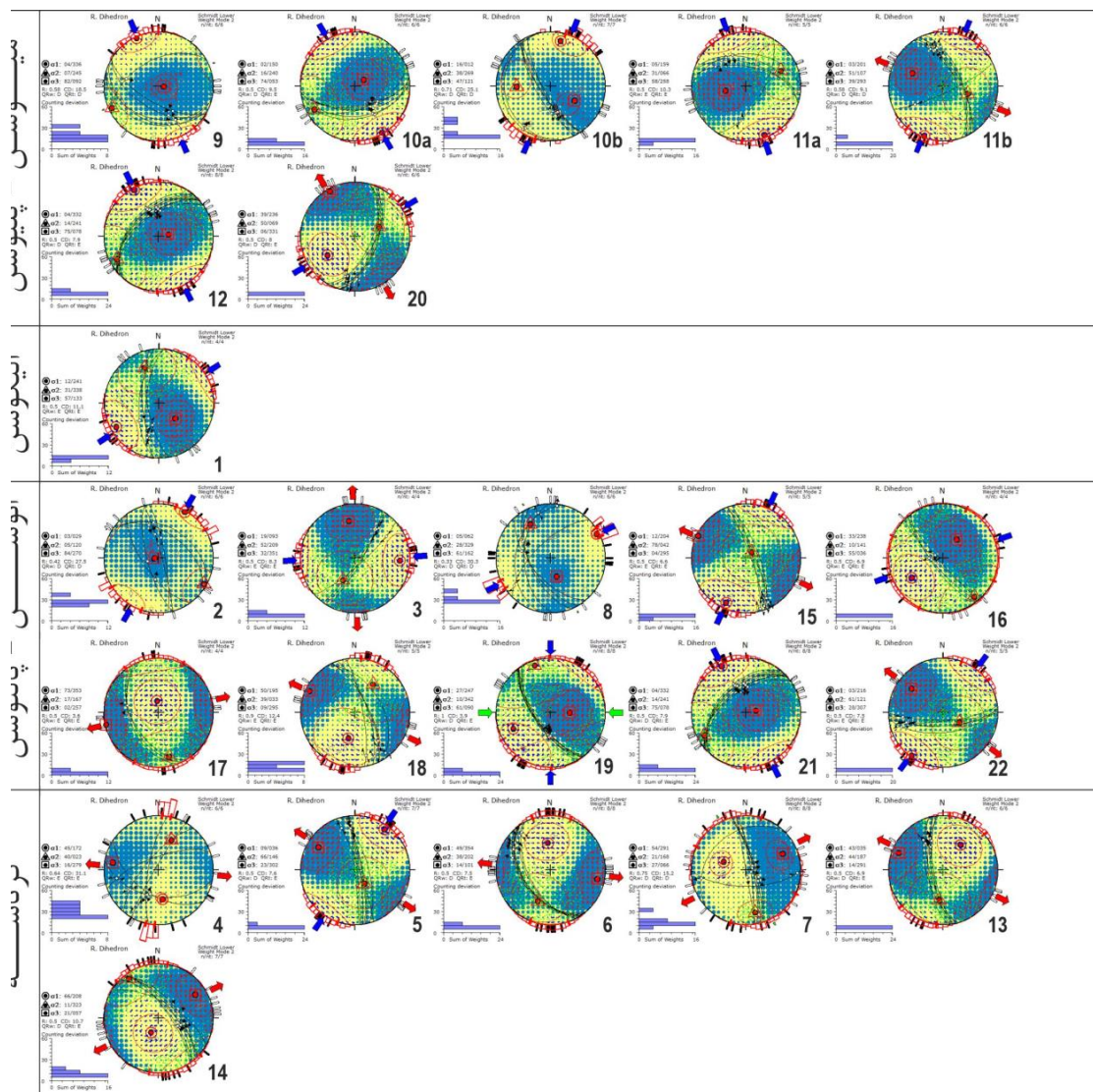
محاسبه تنش دیرین با استفاده از روش وارونگی داده های لغزشی

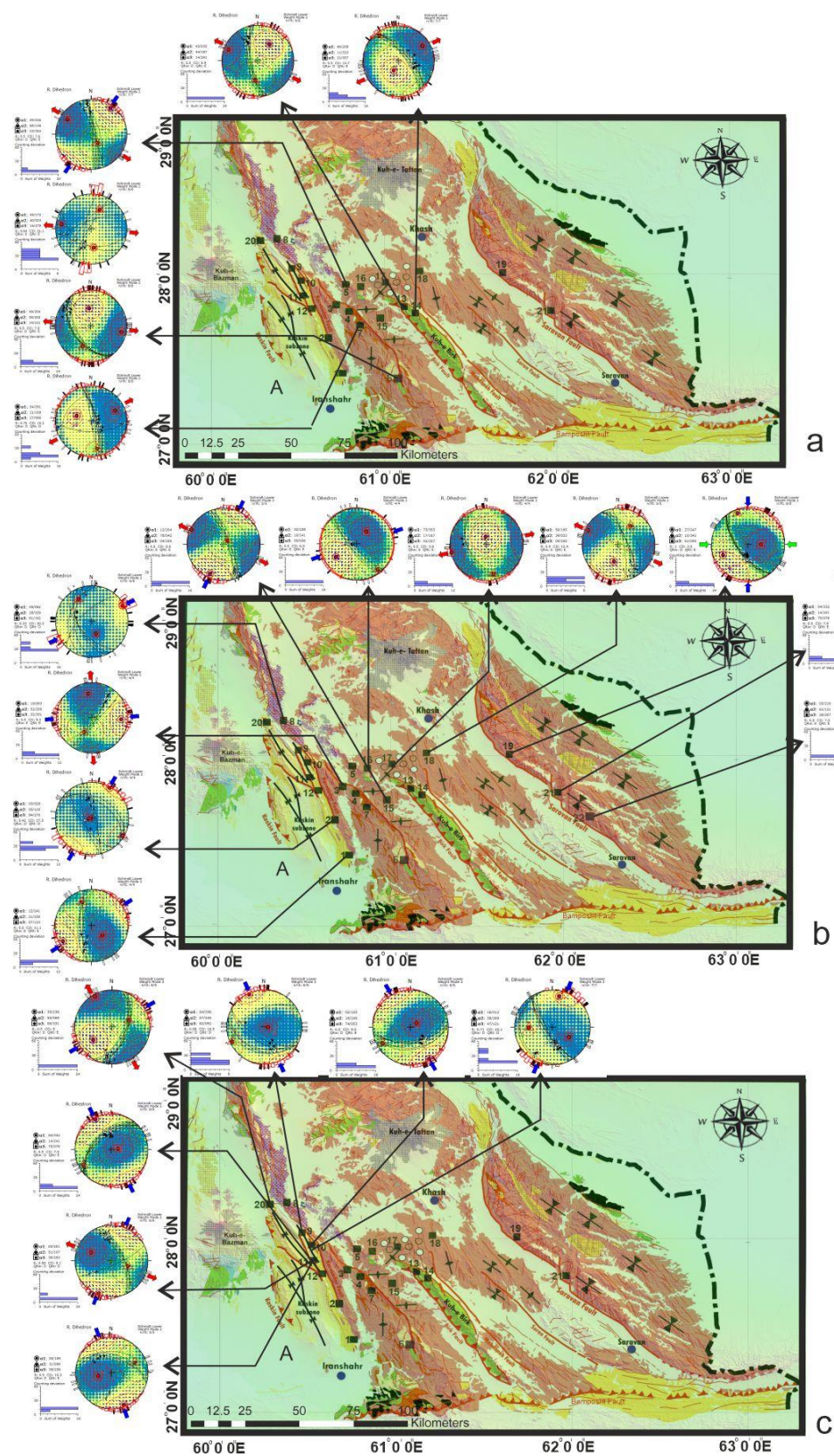
برای محاسبه تنش ابتدا موقعیت سطوح گسلی، موقعیت خش لغزهای گسلی، سوی لغزش های همراه موقعیت لایه بندی ها در ۲۲ ایستگاه برداشت شده است (شکل ۳)، سپس برای تعیین سن تقریبی و نسبی گسل ها چگونگی قطع شدگی و جایه جایی گسل ها با یکدیگر، توالی خش لغزهای گسلی مختلف روی سطح هر گسل، برداشت شده است. یکی از مهمترین فرضیات روش وارونسازی، رخداد لغزش در جهت تنش بر شی بیشینه در سطح گسل است. بنابراین هر میدان تنشی تنها توانایی ایجاد یک خش لغز را در سطح گسل خواهد داشت. در برداشت های صحرایی، گاه چند خش لغز در سطح گسل دیده می شود. ایجاد چند خش لغز گسلی ممکن است در اثر تغییر محلی جهت تنش اصلی صورت گیرد که در این حالت ممکن است چند خش لغز در یک فاز دگر شکلی ایجاد شوند. تغییر جهت لغزش در اثر تغییر مقاومت در سطح گسل و یا تغییر شرایط مرزی نیز ممکن است سبب ایجاد چند خش لغز در سطح گسل شود. تغییر میدان تنش ناحیه ای به واسطه تغییر شرایط مرزی

پالشوزن امتداد لغز تا معکوس و نشوزن نیز امتداد لغز تا معکوس می‌باشند که دایره مور بدست آمده از داده های گسلی نیز همین موضوع را تصدیق می‌کند و نشان از نیروی تراکشی و امتداد لغز در کرتاسه و نیروی ترافشارشی در اتوسون و میوسون می‌باشند (شکل ۴ و ۵).

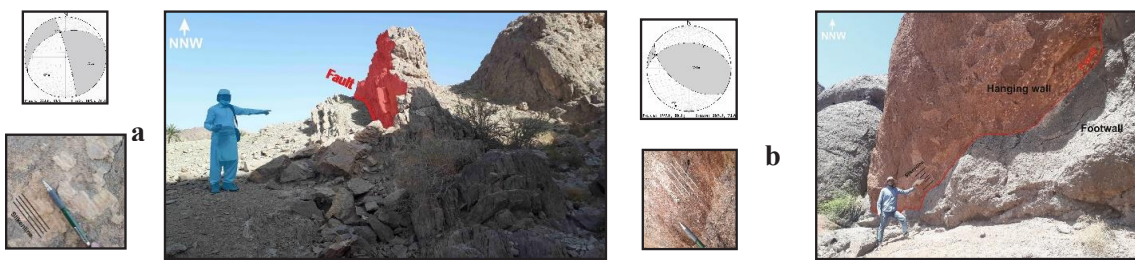
گسل های منطقه به سه فاز تنش اصلی معرف سه فاز دگر شکلی در زمان های کرتاسه (N10°) پالشوزن (N60°) نشوزن (N60°) شناسایی و تفکیک شدند. با توجه با نمودار مثلثی طبقه بندی مکانیسم گسل بدست آمده از داده های گسلی بسترین مکانیسم گسل ها در کرتاسه با مولفه های امتداد لغز تا نرمال و در

جدول ۱ - تغییرات تنش در منطقه مورد مطالعه در زمان های کرتاسه، اتوسون، الیگوسون و میوسون

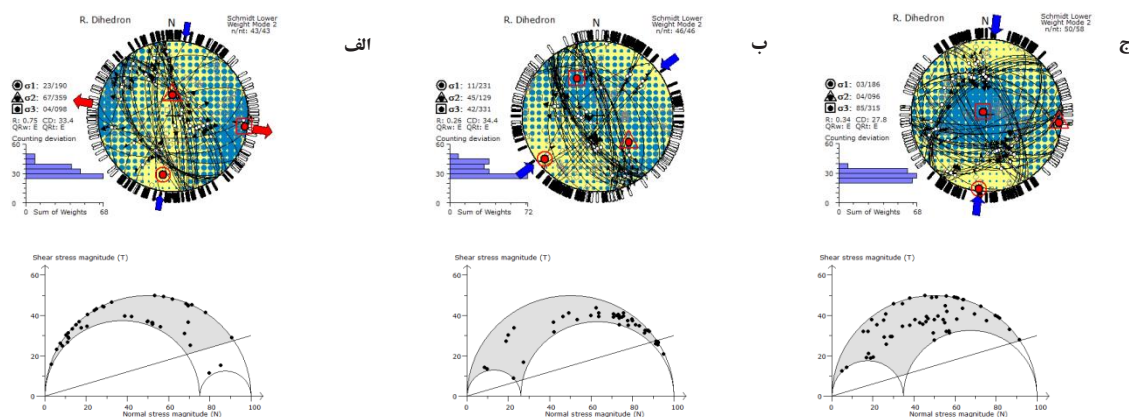




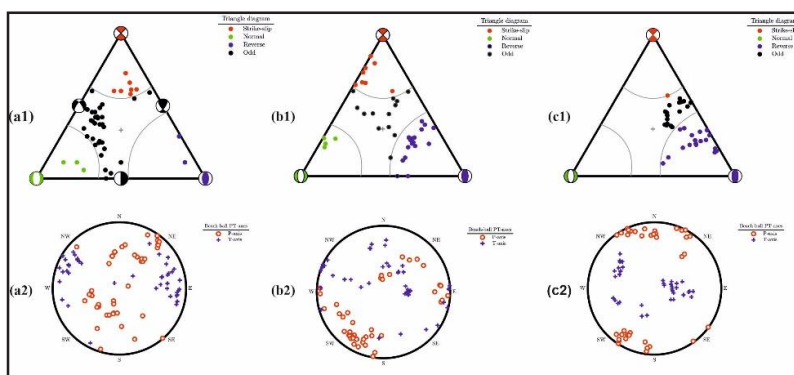
شکل ۲- جهت گیری محورهای تنش مربوط به واحدهای(a) نئوژن (b) پالئوژن و (c) کرتاسه



شکل ۳-۳ (a,b) به ترتیب مربوط به گسل هاو خشلغز ها به همراه استریوگرام مربوط به آن ها در ایستگاه ۲ که در آهک های ائوسن و ایستگاه ۱۱ که در ماسه سنگ های میوسن می باشند.



شکل ۴- روند تنش های اصلی و دایره مور حاصل از برداشت های گسلی در سه زمان (الف) کرتاسه (ب) پالئوزن (ج) نئوزن



شکل ۵ - (a₁,b₁,c₁) نمودار مثلثی طبقه بندی مکانیسم گسل (Frohlich 1992) به همراه (a)

نمودارهای P و T محاسبه شده برای دوره های (a₁,a₂),(b₁,b₂),(c₁,c₂) پالئوزن، (b₁,b₂) کرتاسه، (a₁,a₂) نئوزن

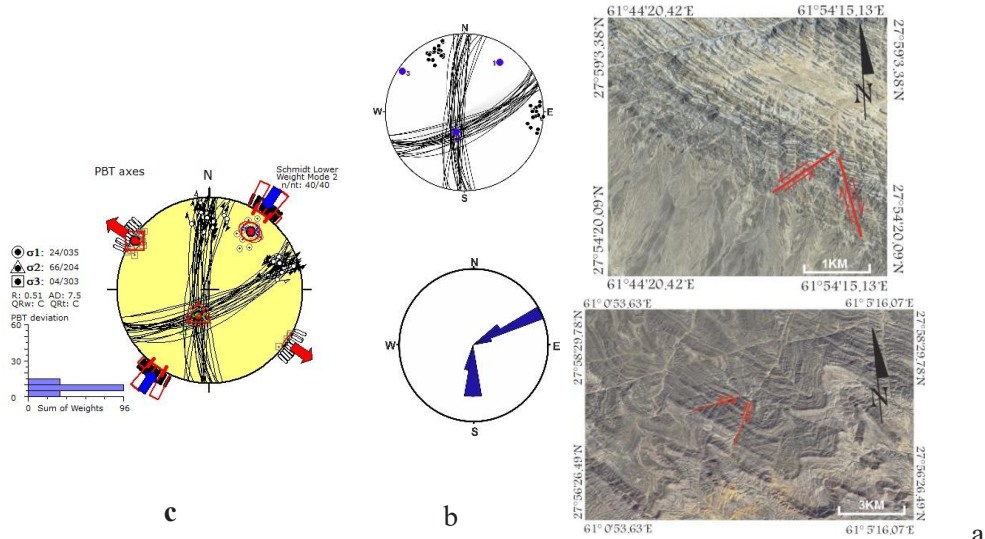
بررسی تصاویر ماهواره ای و مشاهدات صحرایی نشان از دو دسته گسل راستالغز با امتداد شمالی جنوبی با مولفه امتدادی راستگرد و دسته دوم شمال شرقی - جنوب غربی با مولفه امتدادی چگرد می باشد که در نهشته های ائوسن بوده و باعث جابه جایی یال های چین خورده گشته ای شده تصاویر ماهواره ای و مشاهدات صحرایی نشان از دو دسته گسل راستالغز با

بازسازی تنش ها با استفاده از گسل های مزدوج

گسل های مزدوج شامل دو دسته گسل متقاطع با مولفه امتدادی مخالف هم می باشند که نیمساز زاویه حاده بین این دو روند گسلی نشان دهنده جهت تنش اصلی وارد به منطقه می باشد و برای تعیین تنش های قدیمی مورد استفاده قرار می گیرد (Anderson, 1955).

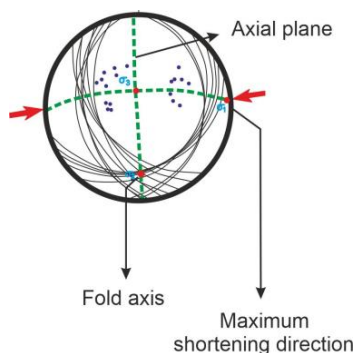
باعث جابه جایی یال های چین خوردگی ها شده اند باز سازی این گسل ها راستای تنش با زاویه ۳۰N را نشان می دهند(شکل ۶).

امتداد شمالی جنوبی با مولفه امتدادی راستگرد و دسته دوم شمال شرقی - جنوب غربی با مولفه امتدادی چهارگردد می باشد که در نهشته های اوسن بوده و



شکل ۶- نمایی از گسل های مزدوج در شرق گسل سراوان و شرق گسل کارواندر(a) به همراه استریوگراف و نمودار گل سرخی(b) و جهت تنش های اصلی(C)

مقیاس تداخلی که نتیجه دو تنش متفاوت در منطقه می باشندیز در بخش خاوری گسل کارواندر و شمال بیرک قابل رویت هستند.



تصویر ۷- دیاگرام π که جهت کوتاه شدگی چین خوردگی را به ما نشان می دهد

پس از برداشت های صحرایی انجام شده و بررسی ویژگی های هندسی چین خوردگی ها سطوح محوری مربوط به ۲۱ چین خوردگی برداشت شده از ایستگاه های مختلف وارد نرم افزار win tensor شد و پس از بررسی و همخوانی سطوح محوری و جهت های کوتاه شدگی آن هادر سه فاز مختلف اندازه گیری شده اند که نتایج آن در شکل ۱۲ آورده شده است که وجود

بازسازی تنش ها با استفاده از چین خوردگی های منطقه

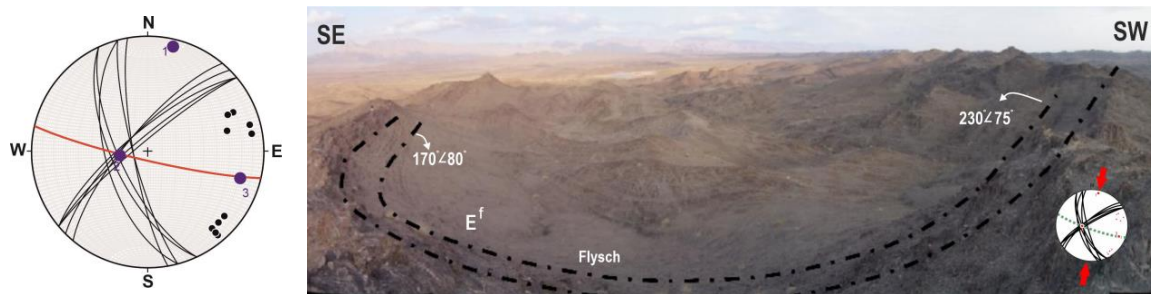
چین ها حاصل دگر شکلی ، شکل پذیر سنگ ها هستند که تغییرات تدریجی اما پیوسته ای را ایجاد کرده به گونه ای که سنگ خود را با دگر شکلی سازگار می کند.(Ramsay, 1986) چین خوردگی ها می توانند در روند بررسی تنش های اعمال شده در منطقه کمک زیادی باشند. به طور کلی جهت کوتاه شدگی چین خوردگی ها را میتوان با محاسبه سطح محوری و محور چین خوردگی تعیین نمود ،قطب یال های یک چین خوردگی ، سطحی را مشخص می کند که قطب آن سطح ، محور چین خوردگی (محور π) یا جهت π_2 را نشان می دهد سطحی که یک چین را به دو قسمت تقسیم می کند سطح محوری نامیده می شود و آزمیوتی که عمود بر سطح محوری باشد جهت کوتاه شدگی و π_1 را نشان می دهد(شکل ۷) (Allmendinger et al., 2011). چین خوردگی ها از شاخص ترین ساختارهای تکتونیکی در شرق ایران می باشند به طوری که وجود آنها را می توان در مقیاس های و روندهای متفاوت در شرق ایران مشاهده نمود. چین خوردگی های بزرگ

کم تعداد بودن این چین ها را فاز های جدید تنش دانست که سبب تغییر مکانیسم و تغییرات دگر شکلی در این محدوده شده است. از جمله این چین ها می توان به چین₁₅ FO (شکل ۸) که در موقعیت ۱۲.۹۸°E, ۲۷۲۷°S, ۵۰.۵۴°N, ۴۶°W در فلیش های اولسن در شمال غرب کوه بیرک قرار دارد، و دارای سطح محوری N80E/90 می باشد، اشاره نمود.

سه جهت اصلی چین خوردگی باشد های مختلف میتواند حداقل نشان دهنده سه نسل چین خوردگی باشد. که در زیر به ویژگی چند نموده از آن ها و روند تغییرات کوتاه شدگی آن ها در منطقه در زیر اشاره شده است.

چین خوردگی های نسل اول:

با سطح محوری خاوری باخته می باشند تعداد این چین ها بسیار کم می باشد و می توان دلیل



شکل ۸- تصویر صحراوی مربوط به چین خوردگی ۱۵ FO₁₅ بروداشت شده از ایستگاه ۱۵ (دید به سمت جنوب شرق) و استریوگراف آن

چین های نسل سوم:

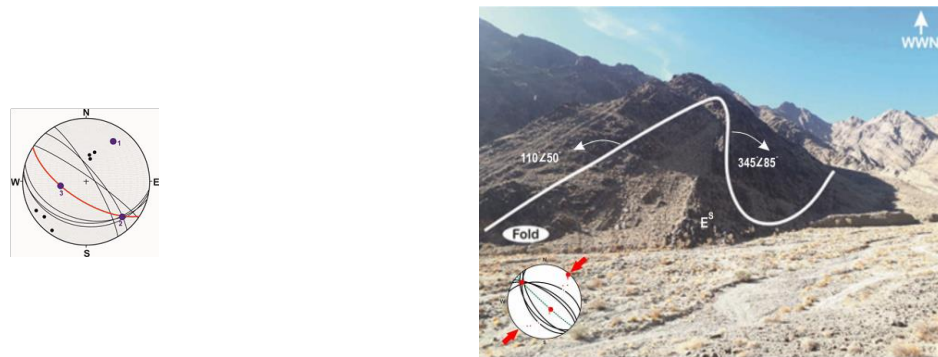
این چین خوردگی ها دارای سطح محوری شمالی-شرقی-جنوب غربی بوده و تعداد آنها نسبت به چین خوردگی های نسل اول و دوم به دلیل هم خوانی محور های تنش آن ها با فاز های تنش کنونی بیشتر می باشد. از جمله این چین خوردگی ها می توان به چین₂₀ FO₂₀ (شکل ۱۰) که در موقعیت ۳۶.۴۰°E, ۲۷°۵۴'N, ۶۱°۵۸.۸۵'W در واحد های فلیشی شمال کارواندر قرار دارد دارای سطح محوری N60W/86SW می باشد.

چین های نسل دوم:

این چین ها دارای سطح محوری شمالی-جنوبی می باشند تعداد این چین ها بنت به چین نسل اول بیشتر بوده و می توان دلیل زیاد بودن تعداد این چین ها را هم خوانی و نزدیک بودن محور های تنش این چین خوردگی ها با فاز های تنش کنونی دانست، از جمله این چین خوردگی ها می توان به چین₁₆ FO₁₆ (شکل ۹) که در موقعیت ۳۶.۴۰°E, ۲۷°۵۴'N, ۶۱°۳۶.۴۰'W در واحد های فلیشی شمال کارواندر قرار دارد دارای سطح محوری N60W/86SW می باشد اشاره نمود.



شکل ۹- تصویر صحراوی مربوط به چین خوردگی ۱۸ FO₁₈ بروداشت شده از ایستگاه ۱۸ (دید به سمت شمال) و استریوگراف آن

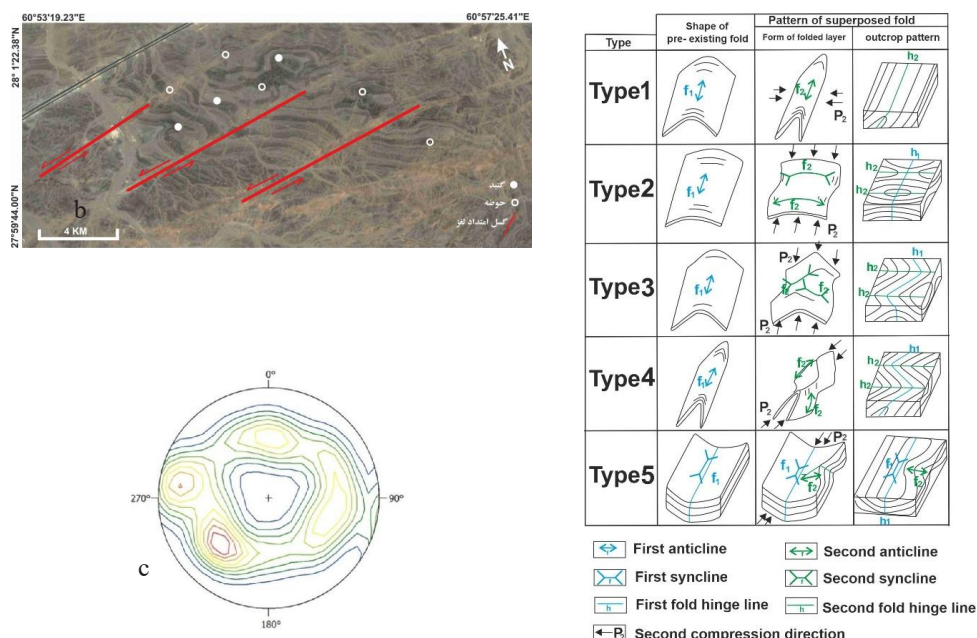


شکل ۱۰- تصویر صحرايی مربوط به چين خوردگی FO_{20} بوداشت شده از اينستگاه ۲۰ و واستريوگراف آن

را میتوان بيان نمود (شکل(a)) که در زیر با آن اشاره شده است ساختار تداخلی چين خوردگی تیپ دو رمزی از جمله ساختار های تداخلی میباشد در موقعیت جغرافیایی $27^{\circ}59'N, 60^{\circ}20'E$ و در فلیش های ائوسن قرار گرفته است (شکل(b)). و دو راستای تنش عمود بر هم را نشان میدهد لذا دارای دو سطح محوری بوده که یک راستای آن شمال غربی جنوب شرقی بوده که معرف نسل دوم چین خوردگی بوده و شناسایی نسل اول چین خوردگی بدليل دگرشكلي جوان تر مشكل می باشد لذا با شناخت الگوی تداخلی و شناسایی نسل دوم دگرشكلي می توان سطح محوری چين خوردگی نسل اول پی برد.

چين خوردگی های تداخلی :

گاهی اوقات عملکرد دو فاز چین خوردگی دگرشكلي های متفاوتی روی لایه بندي اوليه ايجاد میکند، اعمال تنش با جهات متفاوت در لایه هایی با مورفولوژی مختلف ايجاد تیپ های متفاوتی از چین خوردگی ها در سطح میکند که اصطلاحاً الگوی تداخلی چین خوردگی گویند (Ramsay, 1986) بنابراین الگوهای تداخلی نشان دهنده تغيير فازهای چین خوردگی و روشی برای شناخت اين تغييرات می باشد اگر چه طيف وسعي از الگوهای تداخلی در چين خوردگی ها ممکن است ظاهر شود ولی به طور کلی ولی چهار تیپ کلی از الگوهای تداخلی

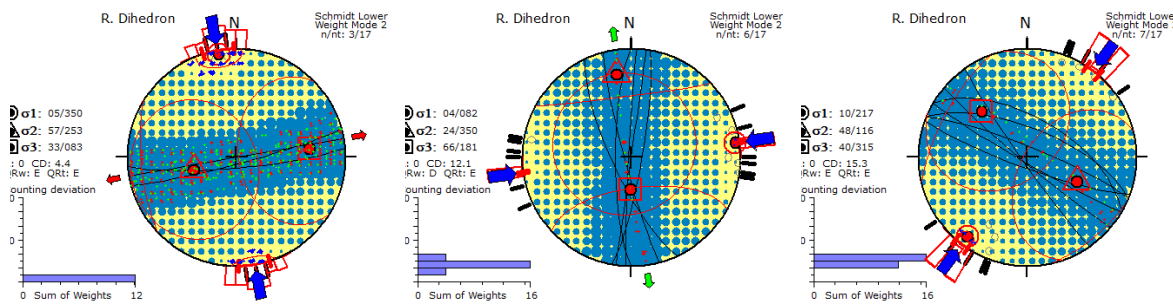


شکل ۱۱-a) چين های تداخلی و b) نمایش تیپ دو(گنبد و حوضه) از الگوی تداخلی چين خوردگی دمزی (۱۹۸۷) حاصل از دو فاز دگرشكلي عمود بر هم در شرق گسل کارواند به همراه c) کستوردیاگرام آن در توربیدايت های ائوسن که توسط گسل های امتداد لنز جایه جا شده اند



جدول ۱- شب سطح محوری، میل محور و زاویه بین یالی به همراه تصاویر استریوگرافی چین‌های منطقه مورد مطالعه و جهت کوتاه شدگی آن

تصویر استریوگراف چین	زاویه بین یالی	میل محور چین	سطح محور چین	زمان	موقعیت جغرافیایی
	55°	310°/21°	N60°W/86°SW	اونسن	27°54'58.88"N 61° 6'36.40"E
	40°	325°/8°	N35°W/86°SW	اونسن	27°54'20.57"N 61° 6'36.40"E
	50°	310°/ 8°	N50°W/86°W	اونسن	27°54'35.93"N 61° 3'17.63"E
	50°	334°/46°	N60°W/60°NE	اونسن	27°53'42.21"N 61° 0'32.39"E
	30°	331°/36°	N45°W/65°NE	کرتاسه فرقانی	27°50'45.84"N 61° 2'26.55"E
	80°	302°/51°	N68°W/82°NE	کرتاسه فرقانی	27°52'11.74"N 60°51'53.88"E
	85°	351°/60°	N3°E/88°NW	اونسن	27°53'12.99"N 61° 1'23.49"E
	35°	168°/68°	N10°E/82°SE	اونسن	27°48'13.53"N 60°58'42.50"E
	60°	183°/18°	N-S/78°W	اونسن	27°52'18.32"N 60°48'21.80"E
	75°	267°/63°	N80°E/87°	اونسن	27° 46' 50.54N 60° 57' 12.98E

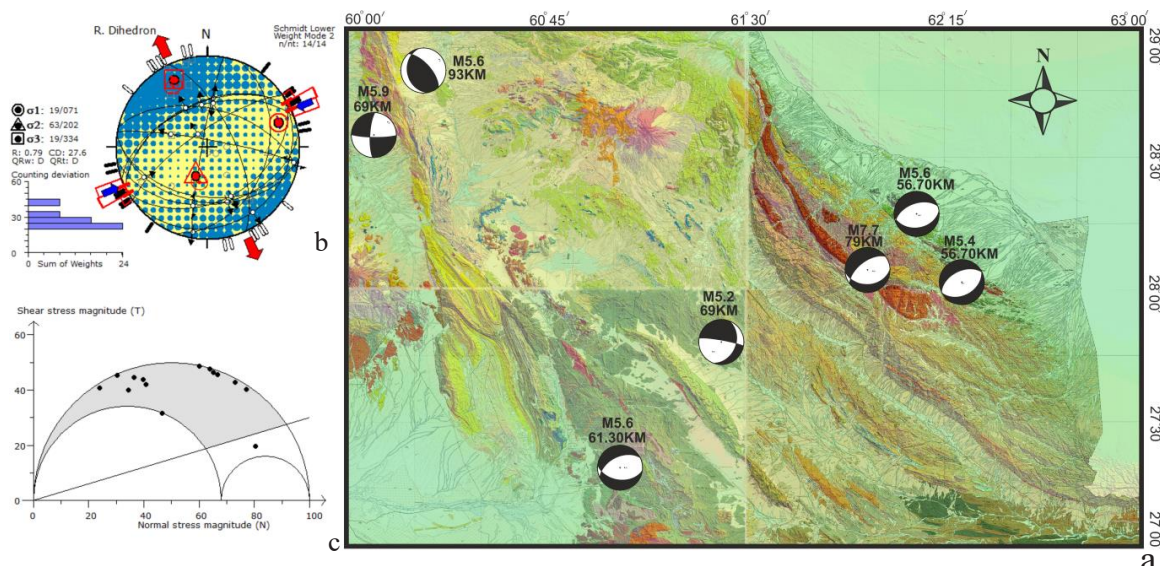


شکل ۱۲- تفکیک چین خوردگی های منطقه به سه فاز کوته شدگی بر اساس موقعیت محورهای چین خوردگی

گردآوری شدند (شکل ۱۳) و با وارد کردن فوکال مکانیسم مربوط به هر زلزله در نرم افزار Win tensor موقعیت تنشهای اصلی $\sigma_1=071/19$, $\sigma_2=202/63$, $\sigma_3=334/3$, و نسبت مقادیر تنش $R=0.79$, محاسبه شد.

بازسازی تنش ها با استفاده از زمین لرزه های بالای ۵ ریشتر

به منظور تعیین میدان تنش زمان حاضر، زمین لرزه هایی با بزرگی بالای ۵ ریشتر و دارای حل کانونی در بخش جنوبی کوهزاد شرق ایران از منابع مختلف



شکل ۱۳- (a) نقشه ساختاری منطقه مورد مطالعه و ساز و کار کانونی زمین لرزه های بخش جنوبی کوهزاد شرق ایران (b) استریوگرام مربوط به ساز و کار کانونی زمین لرزه ها و فاز تنش بدست آمده از زلزله ها (c) موقعیت زمین لرزه ها بر روی دایره مور

و چین خوردگی هایی با سطح محوری متفاوت نشان دهنده آن است که این منطقه دستخوش دگر شکلی های زیادی شده است که برای ارتباط بین این دگر شکلی ها از تنش دیرین در این مطالعه استفاده شده است. نتایج حاصل از وارونه سازی داده های مربوط به خش های گسلی نشان می دهد که محور تنش بیشینه (σ_1), در طی زمان های کرتاسه تا کواترنری در سه مرحله دچار تغییر شده اند که در واحد های مربوط به زمان کرتاسه (N10) و زمان پالئوژن (N60) و زمان

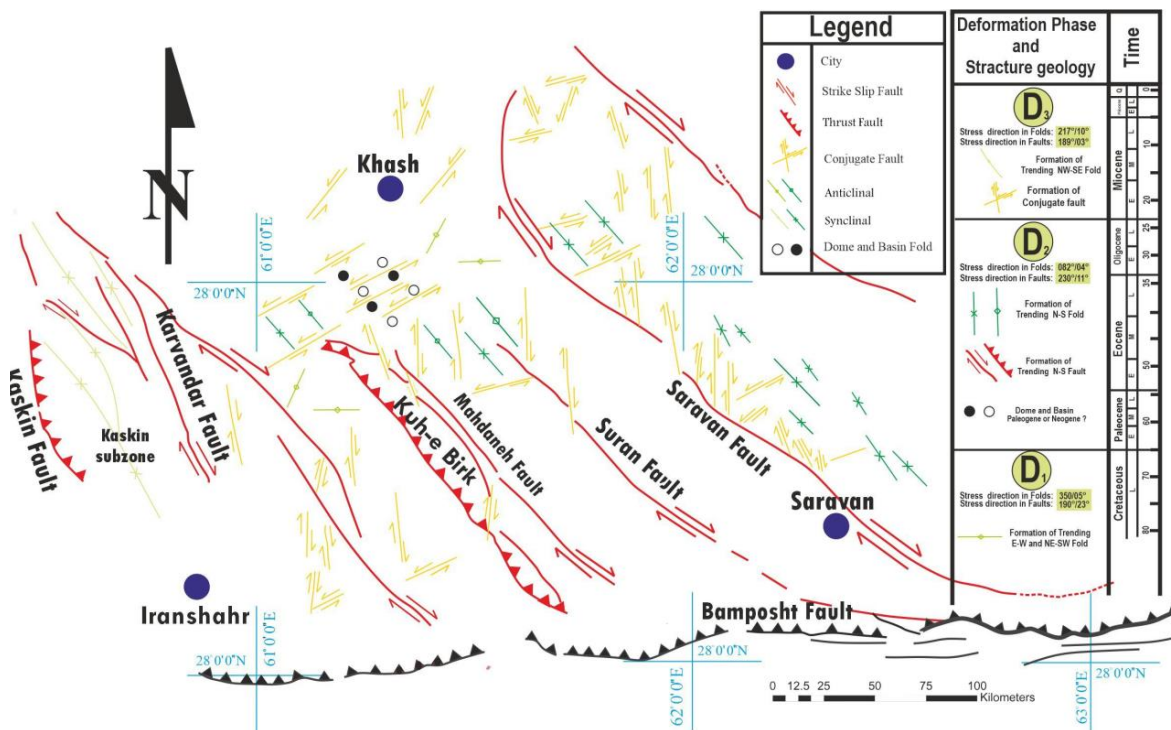
بحث و نتیجه گیری

تحلیل تنش دیرین می تواند برای تفکیک فاز های مختلف تنش و درک ارتباط بین دگر شکلی های ایجاد شده کمک بسیاری باشد، و همچنین اطلاعات ارزشمندی در خصوص سیر تکاملی کوهزاد ها ارائه نماید منطقه مورد مطالعه که بخش جنوبی زون سیستان می باشد ساختارهای دگر شکل شده متنوعی را در دل خود جای داده است، که نشان دهنده تاریخچه تکتونیکی پیچیده ای می باشد تنوع ساختارهای مختلف

عبارتند از: ۱- در اثر تغییرات فاز تنش در دو فاصله زمانی بین کرتاسه تا ائوسن بوجود آمده اند، که فاز قدیمی تر آن مربوط به زمان کرتاسه می باشد که مسبب چین های با محور شرقی غربی یا شمال شرق جنوب غربی می باشد و فاز جدید آن در زمان ائوسن که اغلب چین های منطقه در این زمان با محور شمالی -جنوبی تحت تاثیر این فاز شکل گرفته اند ۲- گسل های راستالغز چپگرد با روند های شمال شرقی جنوب غربی موجود در شیل های ائوسن که تحت تاثیر آن ها دچار چرخش خلاف جهت عقربه های ساعت شده و محور چین دچار چرخش شده و مجدد دچار چین خوردگی شده اند و چین های تیپ دو رمزی شکل گرفته اند که البته این موضوع نیاز به مطالعه بیشتری دارد (شکل(b)).

مراجع

- سهمی‌ا، موسوی، س.م، خطیب، م.م، ۱۳۹۷. تحلیل تنش دیرینه در منطقه شیرشتر (یکی از شاخه های شمالی گسل نهبندان). زمین شناسی کاربردی پیشرفتی (۳)۳۰۰-۳۱۵.
- موسوی، س.م، خطیب، م.م، علوی، ا، ۱۳۸۹. تفکیک فازهای تنش دیرین به روش برگشتی از صفحه های گسلی در منطقه جنوب بیرجند. فصلنامه زمین شناسی ایران (۴-۲۸).
- توگل سادات، م.ع، ا، ۱۳۷۲. نقشه تکتونیک ایران، مقیاس یک میلیونیم، سازمان زمین شناسی و اکتشافات معدنی کشور.
- Alavi,M., 1991. Sedimentary and structural characteristics of the Paleo-Tethys remnants in northeastern Iran. Geological Society of America Bulletin 103(8):983-992.
- Allmendinger,R.W., Cardozo,N., & Fisher,D. M.,2011. Structural geology algorithms: Vectors and tensors. Cambridge University Press.
- Anderson,E.M., 1955. The dynamics of faulting and dyke formation with applications to Britain. Edinburgh: Oliver and Boyd.
- Angelier,J., 2002. Inversion of earthquake focal mechanisms to obtain the seismotectonic stress
- نژوژن ($N6^{\circ}$) می باشد. بررسی چین خوردگی های منطقه نیز حدقل سه فاز کوتاه شدگی ۱- در راستای N، برای چین خوردگی هایی با سطح محوری شرقی غربی ۲- در راستای E، برای چین خوردگی هایی با سطح محوری شمالی -جنوبی ۳- در راستای NE، برای چین خوردگی هایی با سطح محوری شمال غربی جنوب شرقی، را نشان می دهند. جهت های تنش بیشینه هم در چین خوردگی ها و هم در گسل ها کم و بیش با هم یکسان می باشند. بر اساس فاز های تنش بدست آمده از دگرشکلی های منطقه و ارتباط بین عناصر موجود ۳ رخداد دگرشکلی قابل تشخیص می باشد (شکل ۱۴). رخداد اول مربوط به چین خوردگی هایی با روند شرقی غربی تا شمال شرقی جنوب غربی میباشد که میدان تنش ایجاد کننده چنین ساختار هایی با میدان تنش کنونی همواره ندارد و منبع دینامیکی شمالی جنوبی تا شمال غرب -جنوب شرق داشته اند که مربوط به زمان قبل از برخورد بلوک لوت و افغان میباشد رخداد دوم باعث ایجاد ساختارهایی با روند شمالی جنوبی شده اند که از آن جمله میتوان به چین خوردگی ها و سیستم گسلی شرق ایران اشاره نمود که در همزمان با برخورد هنده اوراسیا و بلوک لوت به بلوک افغان ایجاد شده اند و رخداد سوم در نتیجه برخورد صفحه عربستان به ایران و تغییر فاز تنش می باشد که سومین حادثه دگرشکلی باعث تشکیل چین خوردگی هایی با روند شمال غربی جنوب شرقی و ایجاد شکستگی های برشی مزدوج در منطقه است. که دسته اول شامل گسل های راستالغز با روند تقریباً شمالی -جنوبی با مؤلفه -جابه جایی راستگرد هستند که از جمله آنها میتوان به جابه جایی رشته کوه بیرک و گسل سراوان اشاره نموده که توسط این گسل ها از میانه بریده و در راستای شمالی -جنوبی جابه جا شده اند. دسته دوم گسلهای مربوطه، راستالغز با روند شرقی -غربی تا شمال شرق -جنوب غرب می باشند که جابجایی چپگرد نشان می دهند و سطح محوری چین های با روند شمال غرب -جنوب شرق را بریده اند. (شکل(b)). برای تشکیل چین خوردگی های تداخلی که در رسوبات توربیدایتی در بخش میانی منطقه موردن مطالعه بوده که از نوع تیپ دو رمزی می باشند نیز دو دیدگاه را می توان مطرح نمود که



شکل ۱۴- نقشه ساختاری منطقه مورد مطالعه به همراه زمان پیشنهادی برای تغییرات فاز های دگر شکلی به همراه ساختار های متاثر از این تغییر فازها در طول کوهزایی شرق ایران.

- Mountain, Eastern Iran. Arabian Journal of Geosciences 13:1-18.
- Hallock, M., 2019. Mech App <https://orcid.org/0000-0001-5865-7767>.
- Angelier, J., 2002. Inversion of earthquake focal mechanisms to obtain the seismotectonic stress IV—a new method free of choice among nodal planes. Geophysical Journal International 150(3):588-609.
- Jentzer, M., et al., 2017.. Neogene to Present paleostress field in Eastern Iran (Sistan belt) and implications for regional geodynamics. Tectonics 36(2):321339. <https://doi.org/10.1002/2016TC0042>.
- Kearey, P., Klepeis, K.A., and Frederick, J., 1996. Global tectonics: John Wiley & Sons.
- Nabavi, M.H., 1976. An introduction to the geology of Iran. Geological Survey of Iran 109.
- Navabpour, P., Angelier, J., and Barrier, E., 2007.

IV a new method free of choice among nodal planes. Geophysical Journal International, 150(3), 588-609.

Bagheri, S., and Damani, S., 2020. The eastern Iranian orocline. Earth-Science Reviews 210:103322.

Camp, V.E., and Griffis, R.J., 1982. Character, genesis and tectonic setting of igneous rocks in the Sistan suture zone, eastern Iran. Lithos 15(3):221-239.

Delvaux, D., 2010. WinTensor [Version 5.0]. Retrieved from <http://damiendelvaux.be/Tensor/WinTensor/win-tensor.html>.

Eftekhari-Nejad, J., and McCall, G., 1993. Explanatory text of the Nikshahr quadrangle Map 1:250000. Geological Survey of Iran (GSI) (L14):19-22.

Ezati, M., Gholami, E., Mousavi, S.M., 2020. Paleostress regime reconstruction based on brittle structure analysis in the Shekarab



Cenozoic post-collisional brittle tectonic history and stress reorientation in the High Zagros Belt (Iran, Fars Province). *Tectonophysics* 432(1-4):101-131.

Navabpour, P., Angelier, J., and Barrier,E.,2008. Stress state reconstruction of oblique collision and evolution of deformation partitioning in W-Zagros (Iran,Kermanshah). *Geophysical Journal International* 175(2):755-782.

Ramsay,J.,1986.The techniques of modern structural geology. *The Techniques of Modern Structural Geology, Folds and Fractures* 2:309-700.

Sahandi, M.R., Soheili, M., 2011. Geological Map of Iran: Tehran, Geo-logical Survey of Iran, scale 1:1,000,000.

Stöcklin,J., Eftekhar-Nezhad,J., and Hushmand-Zadeh.A., 1972.*Geological Reconnaissance Map of Central Lut*. Geological Survey of Iran, Tehran. report.

Stöcklin,J., 1972. Iran Central, septentrional et oriental, Lexiqu Stratigraphique International, 111, Fascicule 9b, Iran. Centre National de La Recherche Scientifique,Paris 1-283.

Stöcklin,J., 1974. Possible ancient continental margins in Iran. In *The geology of continental margins*. Pp. 873-887: Springer.

Stoecklin, J.,1968.*Structural history and tectonics of Iran: a review* .*AAPG bulletin* 52(7):1229-1258.

Tirrul,R., et al .,1983.The Sistan suture zone of eastern Iran. *Geological Society of America Bulletin* 94(1):134-150.